

**Zeitschrift:** Bericht der Eidgenössischen Kommission zur Überwachung der Radioaktivität

**Herausgeber:** Eidgenössische Kommission zur Überwachung der Radioaktivität

**Band:** 24 (1980)

**Anhang:** [Abbildungen = Images]

#### Nutzungsbedingungen

Die ETH-Bibliothek ist die Anbieterin der digitalisierten Zeitschriften auf E-Periodica. Sie besitzt keine Urheberrechte an den Zeitschriften und ist nicht verantwortlich für deren Inhalte. Die Rechte liegen in der Regel bei den Herausgebern beziehungsweise den externen Rechteinhabern. Das Veröffentlichen von Bildern in Print- und Online-Publikationen sowie auf Social Media-Kanälen oder Webseiten ist nur mit vorheriger Genehmigung der Rechteinhaber erlaubt. [Mehr erfahren](#)

#### Conditions d'utilisation

L'ETH Library est le fournisseur des revues numérisées. Elle ne détient aucun droit d'auteur sur les revues et n'est pas responsable de leur contenu. En règle générale, les droits sont détenus par les éditeurs ou les détenteurs de droits externes. La reproduction d'images dans des publications imprimées ou en ligne ainsi que sur des canaux de médias sociaux ou des sites web n'est autorisée qu'avec l'accord préalable des détenteurs des droits. [En savoir plus](#)

#### Terms of use

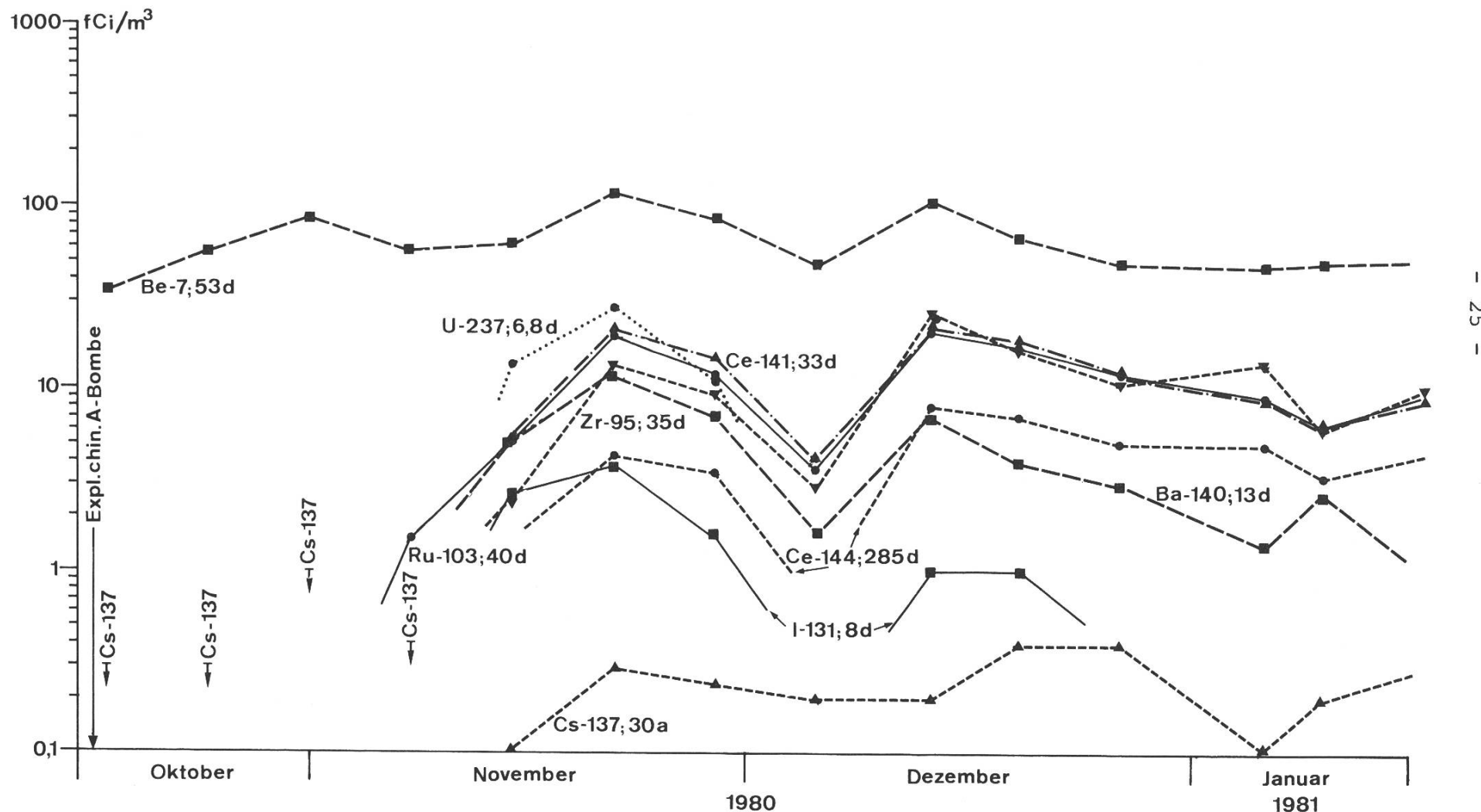
The ETH Library is the provider of the digitised journals. It does not own any copyrights to the journals and is not responsible for their content. The rights usually lie with the publishers or the external rights holders. Publishing images in print and online publications, as well as on social media channels or websites, is only permitted with the prior consent of the rights holders. [Find out more](#)

**Download PDF:** 24.08.2025

**ETH-Bibliothek Zürich, E-Periodica, <https://www.e-periodica.ch>**

Fig. 1: Spaltprodukte und Beryllium-7 in der Bodenluft von Freiburg nach der chinesischen Atombombenexplosion vom 16.10.80; Angaben in  $fCi/m^3 = 10^{-3} \text{ pCi}/m^3$

Produits de fission et beryllium-7 dans l'air à Fribourg après l'explosion atomique chinoise du 16.10.80; valeurs en  $fCi/m^3 = 10^{-3} \text{ pCi}/m^3$



**Fig. 2:** Gamma-Spektrum einer Abgasprobe aus dem KKW Mühleberg vom 19.5.80. Oberes Spektrum: 1 ml Abgas entnommen vor der Abklingstrecke, Messdauer 400 s; Unteres Spektrum: 100 ml Abgas entnommen nach der Aktivkohlestrecke, Messdauer 3300 s

Spectre gamma d'un échantillon de gaz d'échappement de la CN de Mühleberg du 19.5.80. Spectre supérieur: 1 ml de gaz d'échappement prélevé avant le circuit de désactivation, durée de mesure 400 s; spectre inférieur: 100 ml de gaz d'échappement prélevé après la colonne de charbon actif, durée de mesure 3300 s

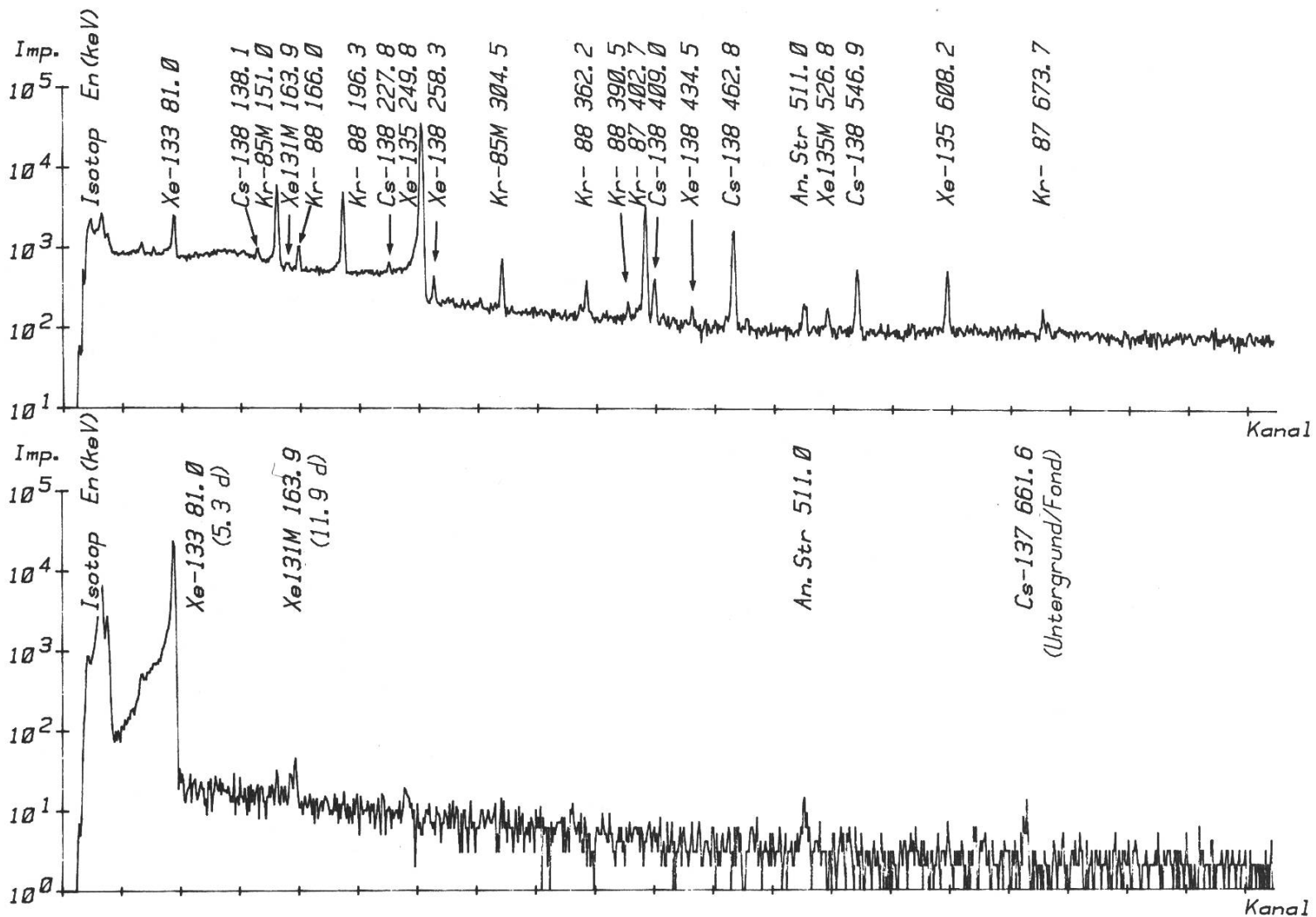


Fig. 3: Ortsdosis in  $\mu\text{R}/\text{h}$  inkl. nat. Untergrund (ca. 8-10  $\mu\text{R}/\text{h}$ ),  
gemessen mit SZINTOMAT am 18.9.80, entlang der Umzäunung  
des KKW Mühleberg, zur Erfassung der Direktstrahlung

\* Messung mit Ionisationskammer

■ TLD-Station, aus Jahresdosis umgerechnet

Dose ambiante en  $\mu\text{R}/\text{h}$ , fond naturel inclus (env. 8 à 10  $\mu\text{R}/\text{h}$ ),  
mesurée avec le SZINTOMAT le 18.9.80 le long de la clôture de  
la CN de Mühleberg; mesure du rayonnement direct

\* mesure avec la chambre à ionisation

■ station TLD, valeur calculée à partir de la dose annuelle

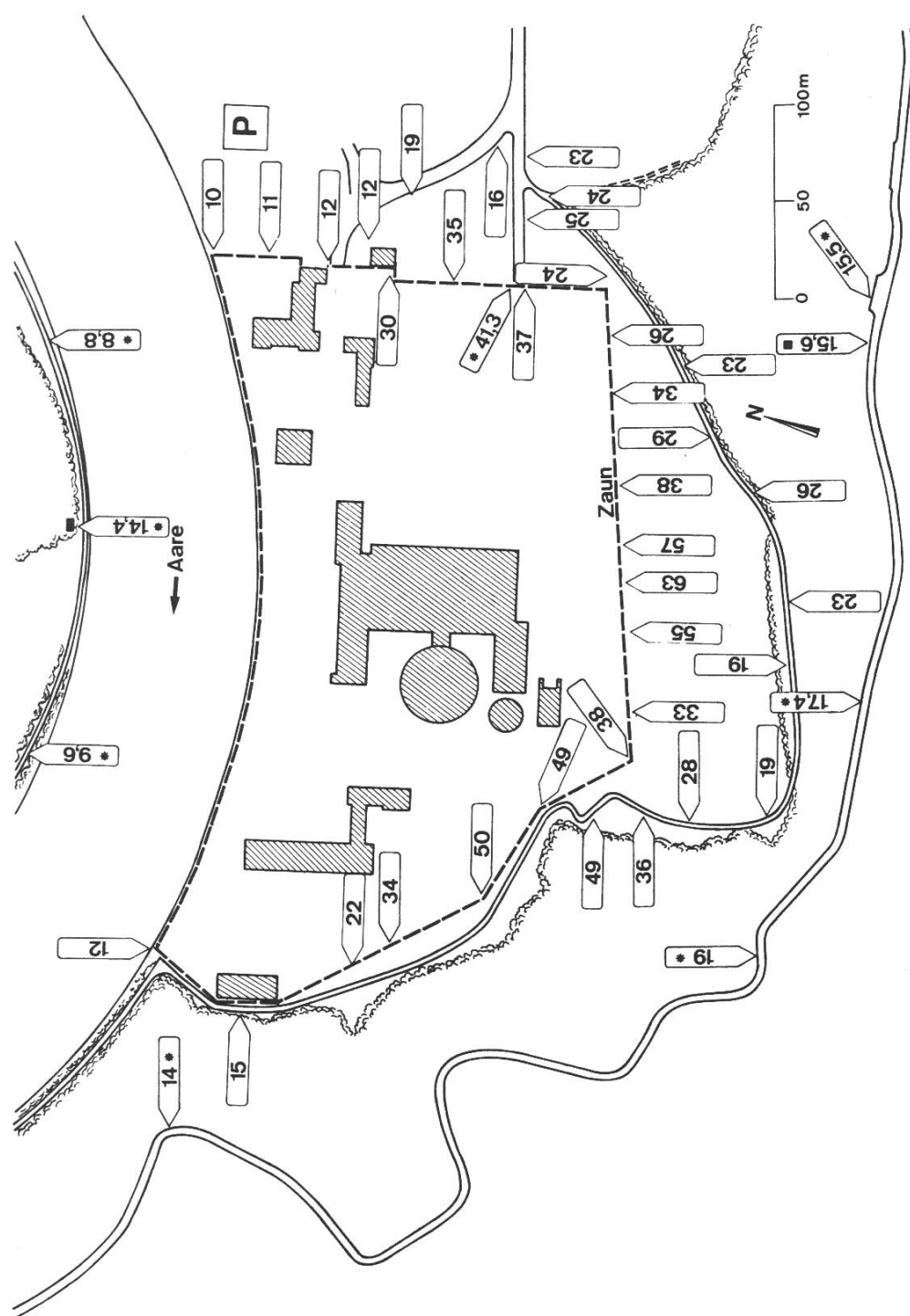


Fig. 4: Ortsdosiseleistung (gemessen mit SZINTOMAT) in  $\mu\text{R}/\text{h}$  (incl. natürlichem Untergrund von 8-10  $\mu\text{R}/\text{h}$ ) entlang der Umzäunung des KKW Mühleberg zur Erfassung der Direktstrahlung vor und nach Verlagerung der beim Reaktorgebäude gestapelten Abfallfässer

Débit de dose ambiante (mesuré avec le SZINTOMAT) en  $\mu\text{R}/\text{h}$  (fond naturel de 8 à 10  $\mu\text{R}/\text{h}$  inclus) le long de la clôture de la CN de Mühlberg; mesure du rayonnement direct avant et après le déplacement des fûts de déchets entreposés près du bâtiment du réacteur

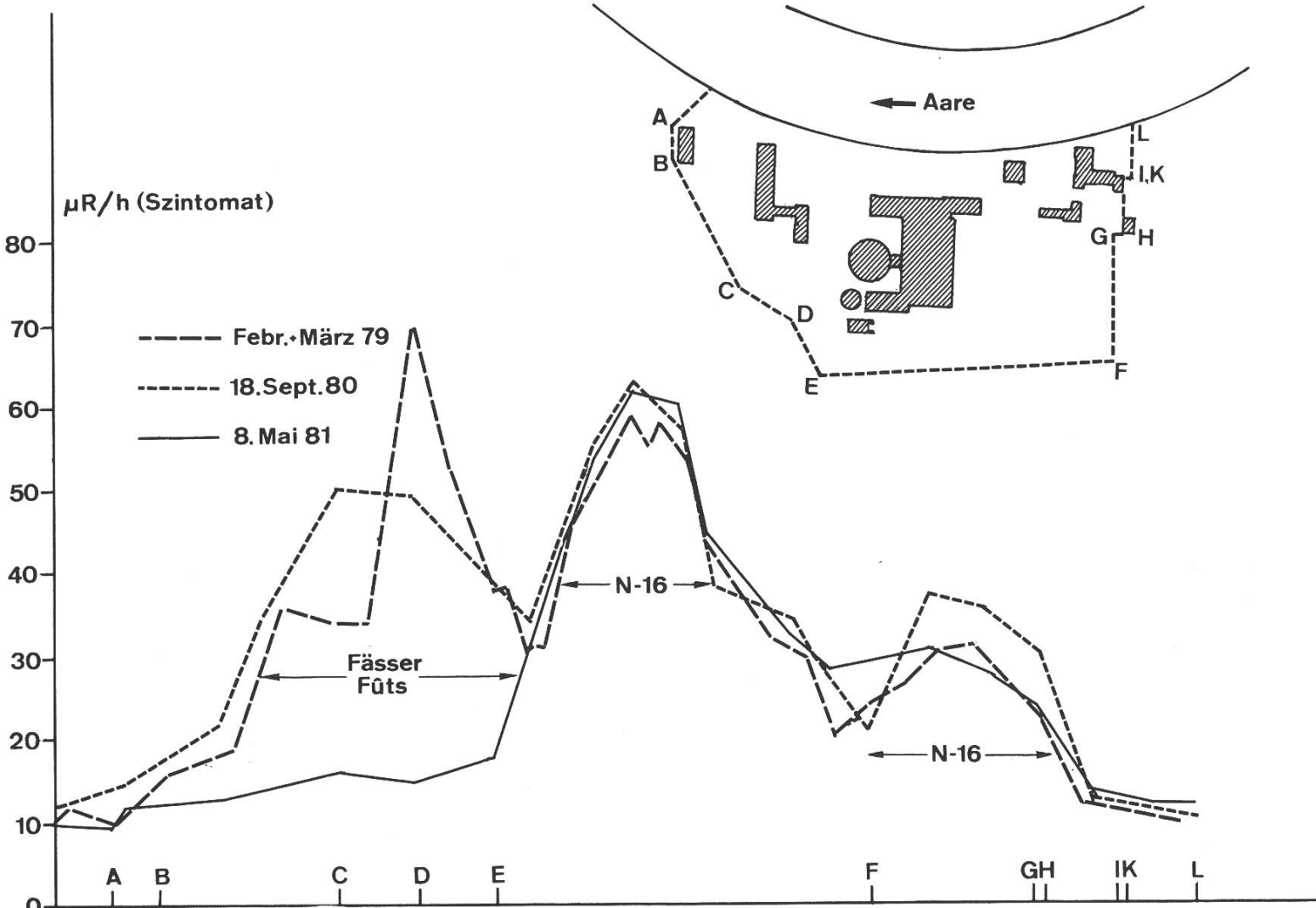


Fig. 5: Ortsdosisleistung in  $\mu\text{R}/\text{h}$  in der Umgebung des KKW Mühleberg ("Ufem Horn" und BKW-Schaltzentrale), 1980. Die Dosisunterschiede zwischen den beiden Stellen sind auf unterschiedliche Zusammensetzung des Bodens zurückzuführen

Débit de dose ambiante en  $\mu\text{R}/\text{h}$  au voisinage de la CN de Mühleberg ("Ufem Horn" et poste de couplage des FMB), 1980. Les différences de doses entre les deux emplacements proviennent d'une composition différente du sol

\* Messgerät defekt - appareil de mesure en panne

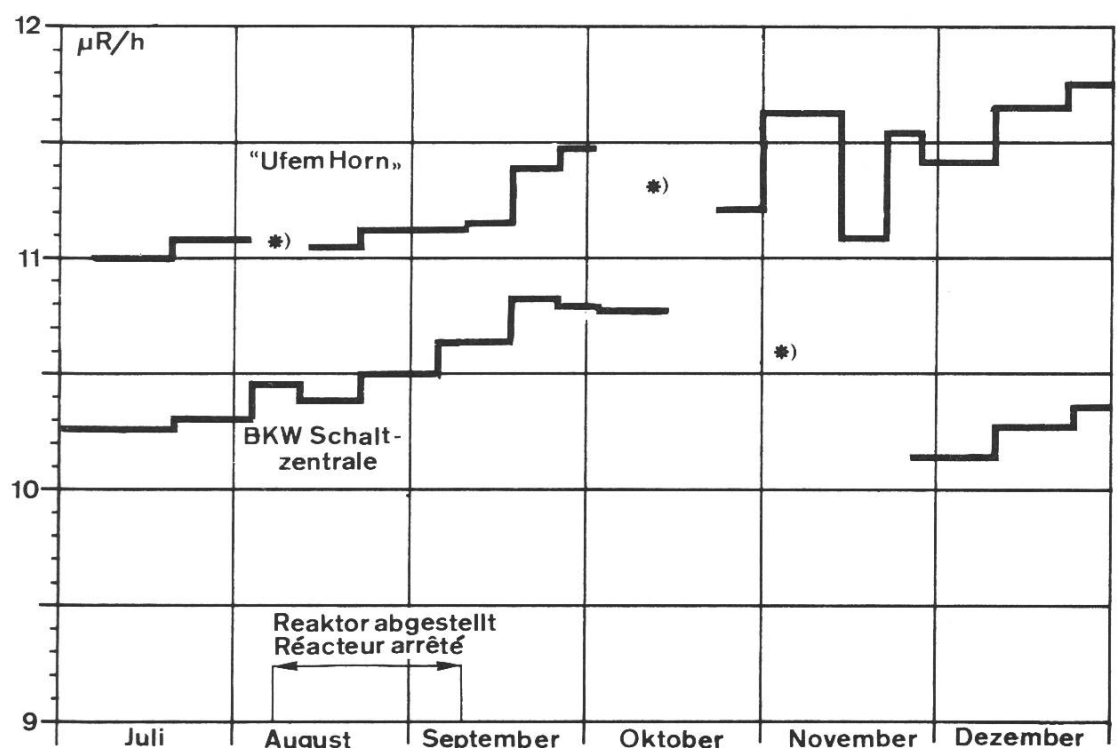
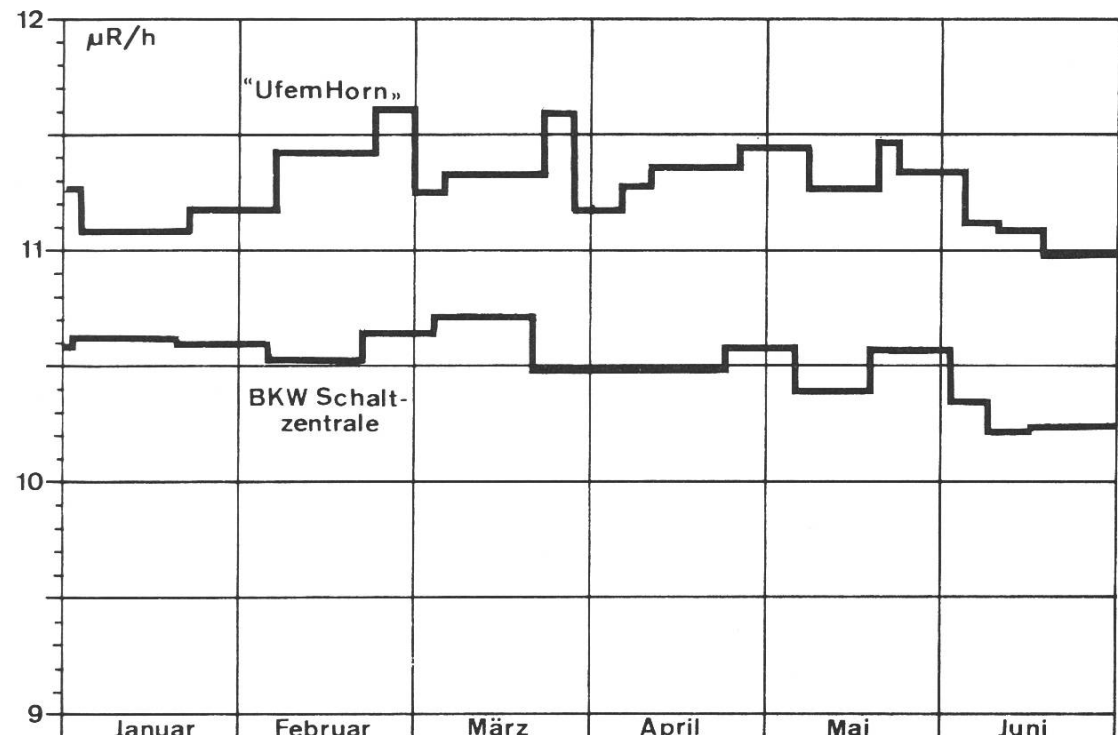


Fig. 6: C-14-Aktivität in Baumblättern aus der Umgebung KKG, KKL und KKB/EIR/SIN, 1980. Die C-14-Erhöhung um 290% des natürlichen Wertes (gemessen an der Referenzstation Imihubel/BE, ausgezogene Linie) ist den atmosphärischen Kernwaffentests zuzuschreiben (PBE)

Activité en C-14 de feuilles d'arbres au voisinage de CNG, CNLE et CNB/IFR/ISN, 1980. L'augmentation du C-14 de 290% de la valeur naturelle (mesurée à la station de référence de Imihubel/BE, trait plein) est imputable aux essais nucléaires dans l'atmosphère (PBE)

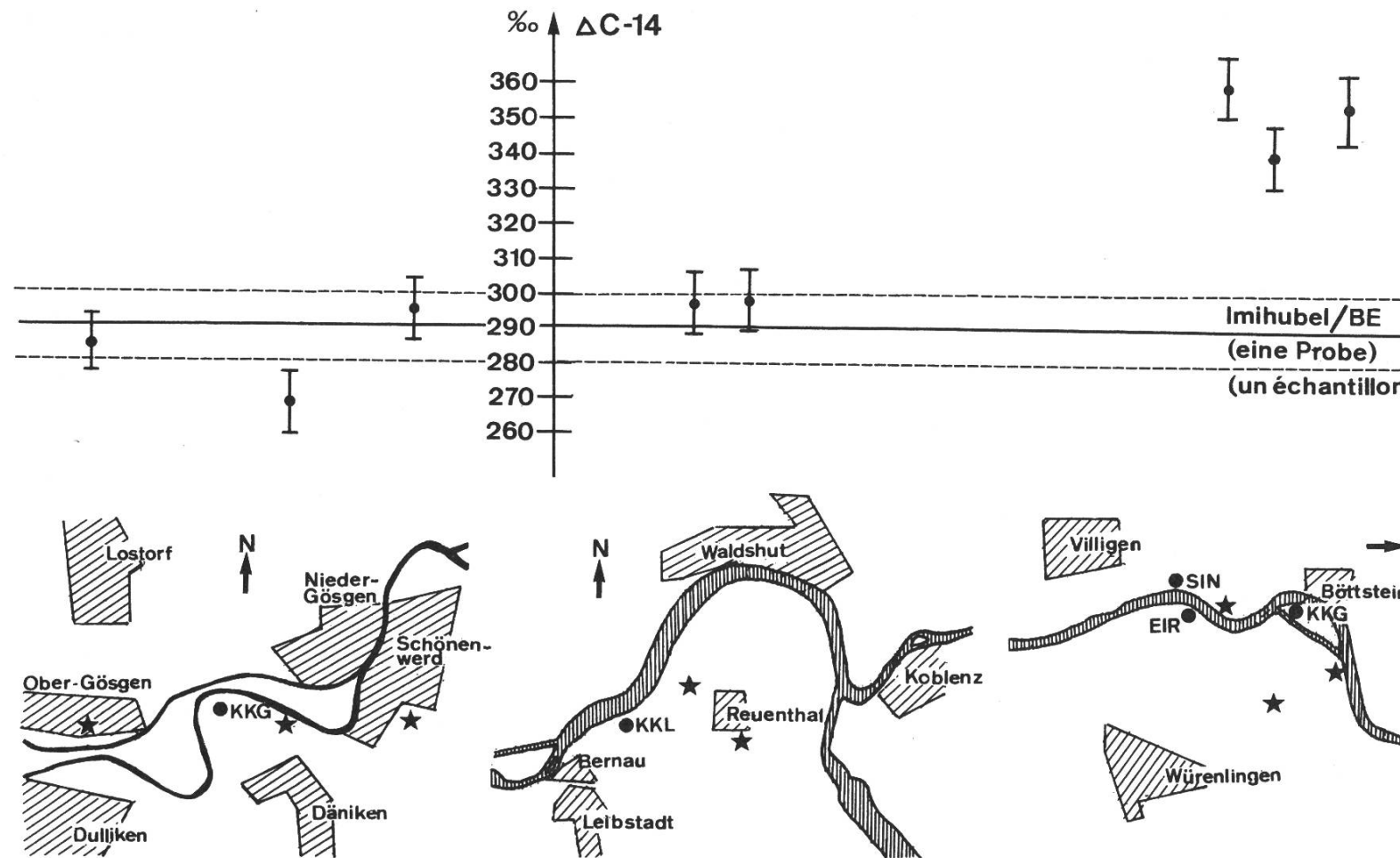


Fig. 7: Jod-131-Aktivität am Ausfluss der Abwasserreinigungsanlagen  
Zürich-Werdhölzli und Bern-Neubrück

Activité en iodé-131 à la sortie de la station d'épuration des eaux usées de Zürich-Werdhölzli et de Berne-Neubrück

\* nicht gemessen - non mesuré

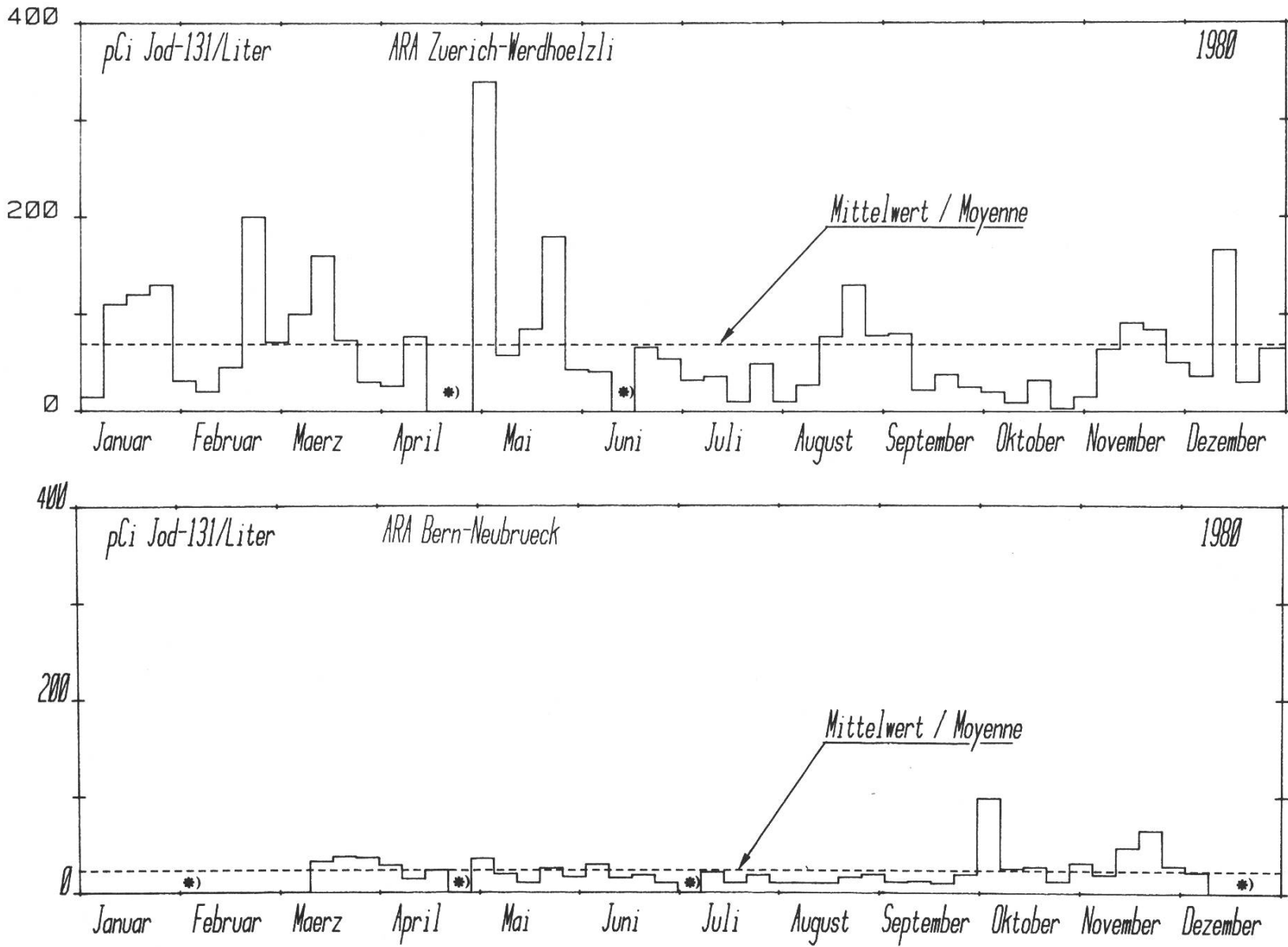


Fig. 8: Tritium-Konzentration im Niederschlag im Raum  
La Chaux-de-Fonds  
Teneur en tritium des précipitations dans la région de  
La Chaux-de-Fonds

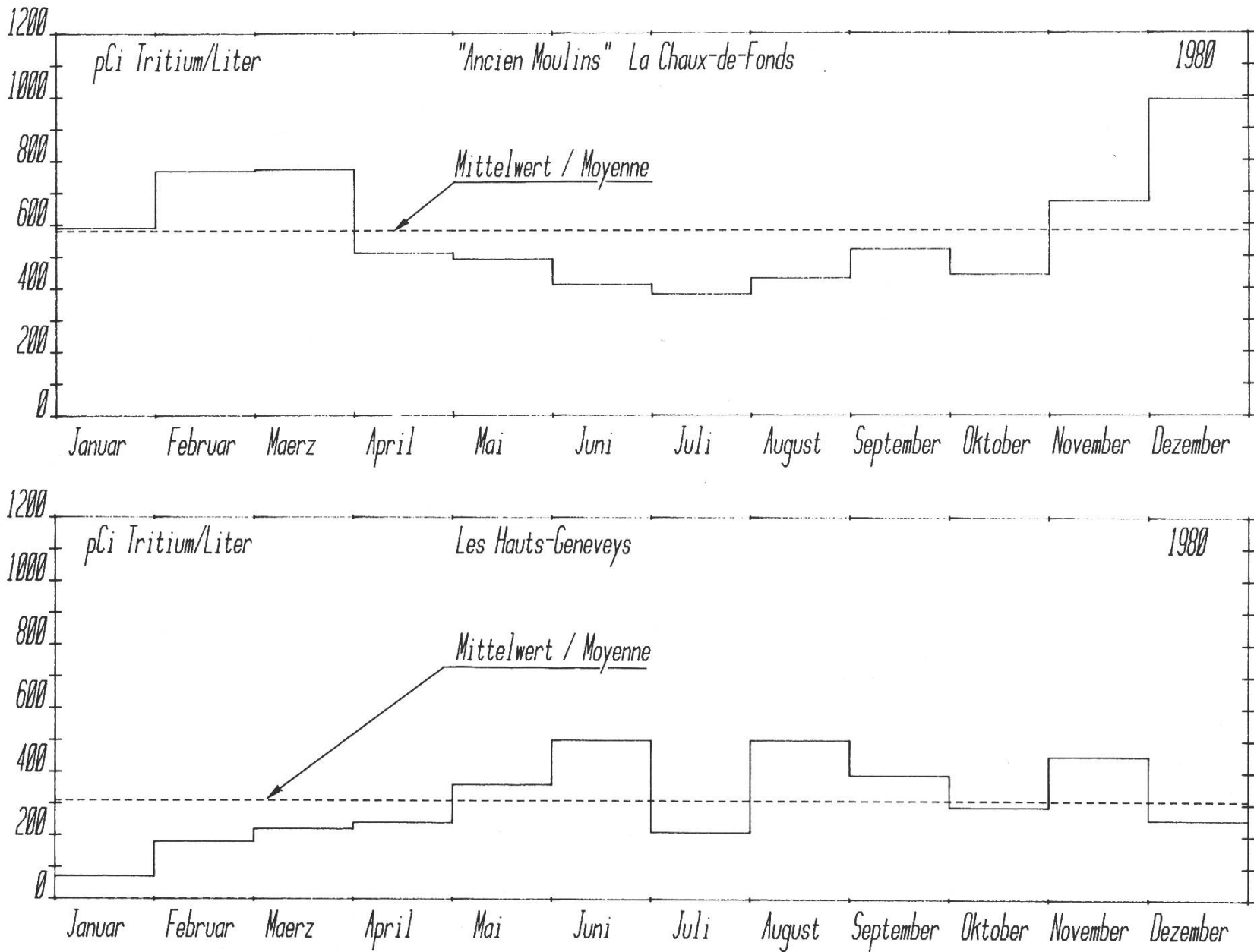


Fig. 9: Tritium-Konzentration im Wasser der ARA La Chaux-de-Fonds und im Doubs bei St. Ursanne  
Teneur en tritium des eaux de la STEP de La Chaux-de-Fonds et du Doubs près de St-Ursanne

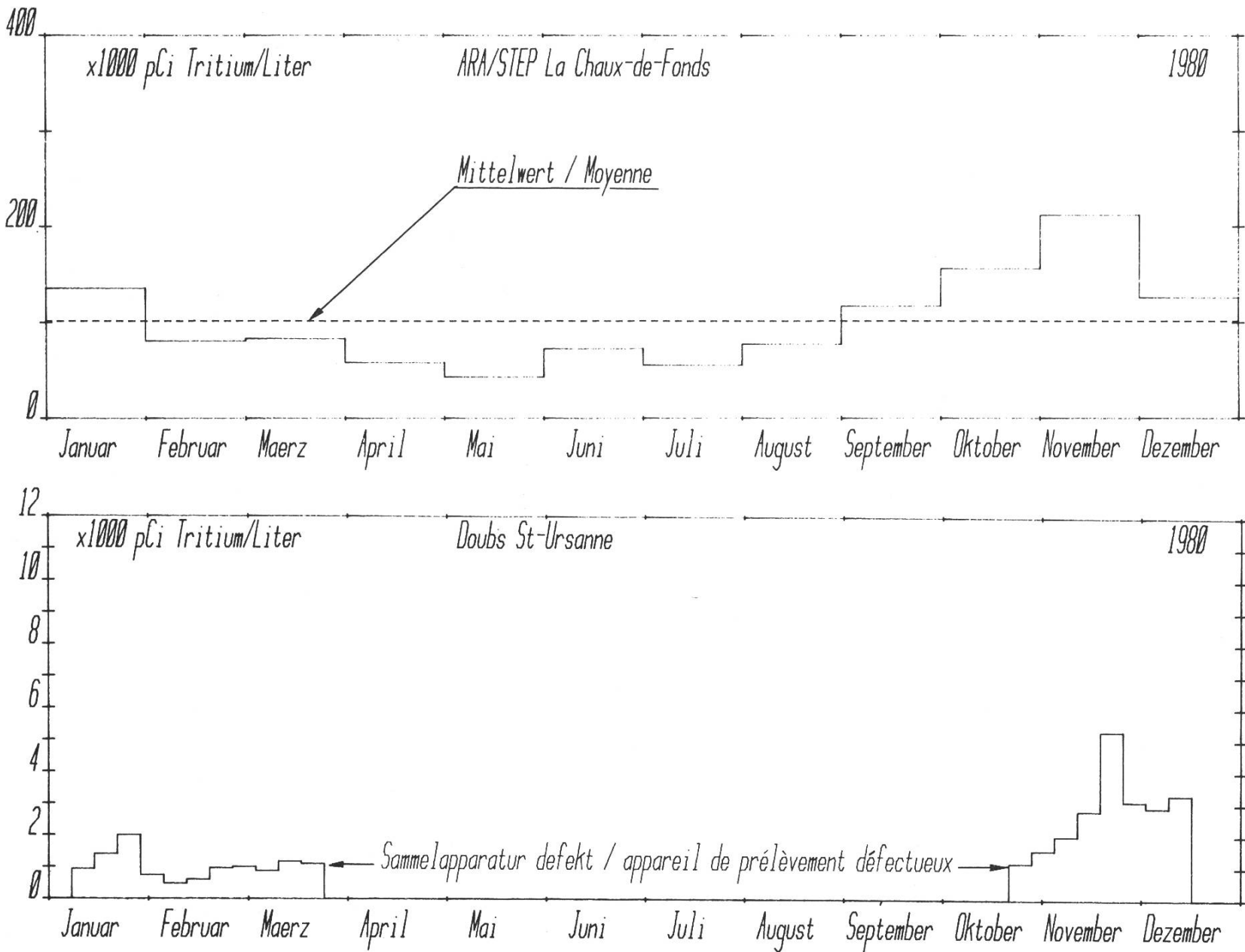


Fig. 10: Tritium-Konzentration im Niederschlag 65 m östlich der Radium-Chemie AG in Teufen/AR (obere Figur) und in einem Brunnen 140 m westlich des Kamins, gespiesen durch eine Quelle (untere Figur) in den Jahren 1977-1981 (LDU)

Teneur en tritium des précipitations, 65 m à l'est de l'entreprise Radium-Chemie AG à Teufen/AR (figure supérieure), et de l'eau d'une fontaine, 140 m à l'ouest de la cheminée, alimentée par une source (figure inférieure), de 1977 à 1981 (LDU)

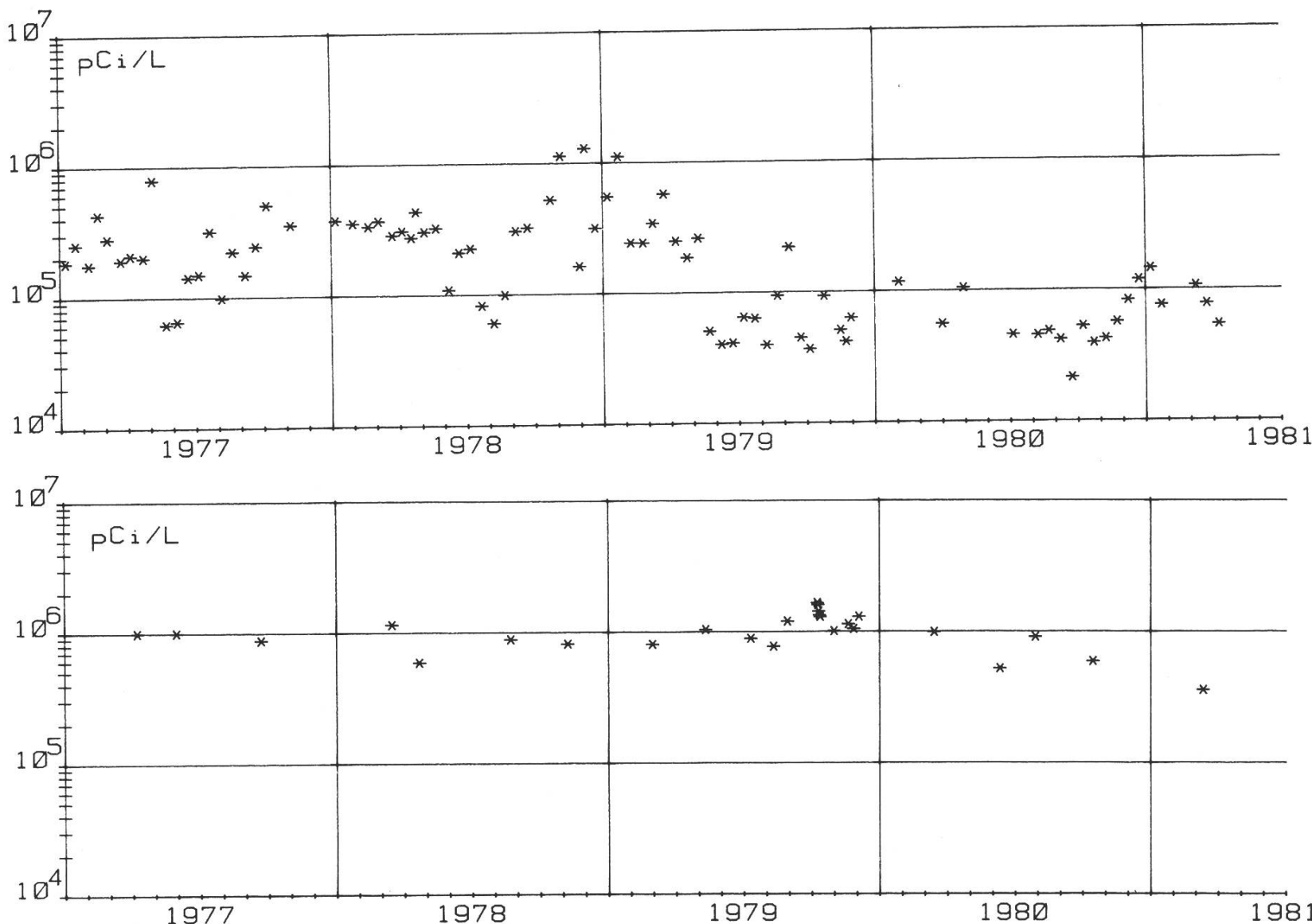


Fig. 11: Tritium-Konzentration in Urin-Stichproben von Personen, die in der Umgebung der Radium-Chemie AG Teufen/AR wohnen, Mai 1980

Teneur en tritium d'échantillons d'urine de personnes habitant au voisinage de l'entreprise Radium-Chemie AG à Teufen/AR, mai 1980

